

## FTIR-HATR 诊断 $\beta$ -地中海贫血及其机理研究

彭立新<sup>1</sup>, 王桂文<sup>1\*</sup>, 姚辉璐<sup>1</sup>, 黄庶识<sup>1</sup>, 王一兵<sup>1</sup>, 陶站华<sup>1</sup>, 黎永青<sup>2</sup>

1. 广西科学院生物物理实验室, 广西南宁 530003

2. 美国东卡罗莱纳大学物理系, Greenville, NC 27858-4353, USA

**摘要** 为建立简单快速的地中海贫血(简称地贫)诊断方法, 探讨了傅里叶红外光谱结合水平衰减全反射(FTIR-HATR)技术用于 $\beta$ -地贫患者的检测及其分子机制。检测了68份正常与37份 $\beta$ -重型地贫患者样品, 并在群体水平上分析了两者光谱差异变化规律。结果显示:(1)由于血红蛋白量的减少,  $\beta$ -地贫组的光谱强度显著低于正常组;(2)在1750~1500 cm<sup>-1</sup>区间, 表征蛋白二级结构的1652, 1638和1628 cm<sup>-1</sup>在 $\beta$ -地贫中有明显降低, 而在1682 cm<sup>-1</sup>处略微增强;(3)在1350~1500 cm<sup>-1</sup>区间, 表征磷脂CH<sub>3</sub>/CH<sub>2</sub>的1440, 1453, 1479 cm<sup>-1</sup>及CO—O—C的1172和1161 cm<sup>-1</sup>吸收峰在 $\beta$ -地贫中显著减少;而在1000~1200 cm<sup>-1</sup>区间, 表征碳水化合物C—O的1150 cm<sup>-1</sup>, 2,3-二磷酸甘油酸(DPG)或ATP中O—P=O的1081和1053 cm<sup>-1</sup>吸收峰显著升高。统计表明DPG/脂类比在 $\beta$ -重型地贫组中显著高于正常组, 并可作为诊断指标, 将两者完全区分, 避免了复杂数据处理过程, 为地贫的光谱诊断提供了坚实的实验基础与理论依据。

**关键词** 傅里叶红外光谱; 水平衰减全反射; 地中海贫血; 磷脂; 2,3-二磷酸甘油酸

**中图分类号:** O621.2   **文献标识码:** A   **DOI:** 10.3964/j.issn.1000-0593(2009)05-1232-05

## 引言

地中海贫血(简称地贫)是我国南部地区常见的一种遗传性血液疾病, 主要分为 $\alpha$ -地贫与 $\beta$ -地贫两种类型<sup>[1-5]</sup>。其中,  $\beta$ -地贫是由于 $\beta$ -珠蛋白基因突变, 珠蛋白链合成受到抑制所致。在临幊上可根据 $\beta$ -珠蛋白减少程度, 分为静止型、轻型、中间型与重型<sup>[1]</sup>。其中,  $\beta$ -重型地贫多见于 $\beta$ -地贫纯合子患者, 是诸多类型中贫血症状最为严重的一种, 患者在出生后3~6个月便表现临幊症状, 需定期输血维持生命。到目前为止, 筛查与产前诊断是降低 $\beta$ -重型地贫的发病率及减少患者数量的主要途径。

在地贫的诊断中, 通常以血常规、形态学、生化检验、蛋白电泳方法作为主要诊断依据, 辅助以基因诊断或高效液相法<sup>[6]</sup>实施确诊, 其程序繁琐, 诊断周期较长。近几年, 随着光谱技术的发展, 傅里叶变换红外光谱(FTIR)已广泛应用于生物复杂体系的研究之中<sup>[7-11]</sup>。更因为实时、快速、无损的检测特点, 可在分子水平反映物质的组成、结构及数量关系, FTIR已成为医学诊断中富有潜力诊断工具。目前, 红外光谱诊断癌症<sup>[12-15]</sup>、白血病<sup>[16, 17]</sup>、血糖<sup>[18, 19]</sup>等已有众多

成功的报道。在地贫研究中, Liu 等<sup>[20]</sup>使用红外透射法, 检测了成膜在CaF<sub>2</sub>窗片的血红蛋白(hemoglobin, Hb)溶液。通过光谱数据的优化, 基于敏感的光谱区间, 线性判别分析可实现对 $\beta$ -重型地贫与正常组的有效诊断。但在该区间, 差异的变化及诊断的分子机理并未清楚, 而且复杂的数据预处理也同样桎梏了光谱对地贫的快速诊断。为阐述 $\beta$ -地贫与正常组光谱间的变化规律及其分子机理, FTIR 结合水平衰减全反射(horizontal attenuated total reflectance, HATR)技术用于 $\beta$ -地贫研究中, 本文详实地探讨了 $\beta$ -地贫与正常组的光谱差异及其机理, 并为 $\beta$ -地贫的诊断提供了简单可靠的定量指标及依据, 使 FTIR 用于 $\beta$ -地贫大规模筛选成为可能。

## 1 实验部分

### 1.1 仪器与样本

傅里叶红外光谱仪(Nicolet 5700, DTGS/B 检测器)配合HATR智能附件。健康血样(68份)和 $\beta$ -重型地贫患者血样(37份), 由广西医科大学提供。在样品收集中考虑性别与年龄因素, 男女比例保持一致, 两组年龄相当。

### 1.2 样本前处理及光谱检测

收稿日期: 2008-02-08, 修订日期: 2008-05-12

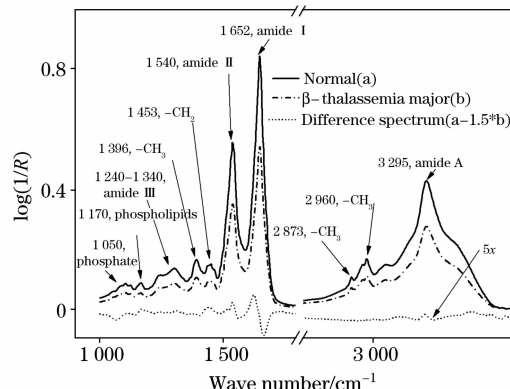
基金项目: 国家自然科学基金项目(30660063)和广西科学基金项目(0575027)资助

作者简介: 彭立新, 1980年生, 广西科学院生物物理实验室研究实习员   \* 通讯联系人   e-mail: wguiwen@126.com

取 200  $\mu\text{L}$  外周血置于 1.5 mL 离心管, 4  $^{\circ}\text{C}$ , 400 g 离心 10 min 去上清, 400  $\mu\text{L}$  Hanks' 缓冲液洗涤 3 次, 蒸馏水低渗处理释放红细胞内含物。4  $^{\circ}\text{C}$ , 20 000 g 离心 30 min 取上清液, 置于 -20  $^{\circ}\text{C}$  作长期保存。取血红蛋白溶液 5  $\mu\text{L}$  稀释液均匀涂布于 ZnSe 晶体表面(50 mm  $\times$  5 mm), 在干燥条件下成膜。红外光谱仪测定分辨率 4  $\text{cm}^{-1}$ , 扫描范围为 800~4 000  $\text{cm}^{-1}$ , 扫描 64 次获得样品光谱。

### 1.3 实验条件的优化

为确定适合的样品浓度, 观察光谱强度与浓度的相关性, 我们用高浓度样品做系列稀释, 结果显示当 1 652  $\text{cm}^{-1}$  处光谱强度小于 1.5 时(即透射率  $T > 4\%$  时), 各个峰高与浓度呈良好的线性相关( $r > 0.995$ )。此外, HATR 的多次反射可减少红外透射法中血红蛋白成膜厚度、半径大小、形状对光路的影响, 改善实验重现性(RSD<4%)。因此本实验对血红蛋白采用十倍的稀释, 使 HATR 谱在 1 652  $\text{cm}^{-1}$  处强度低于 1, 成膜的厚度远小于 0.5  $\mu\text{m}$ 。



**Fig. 1** Plots of the average IR absorption spectra of hemoglobin lysates from normal individuals (solid line), patients with  $\beta$ -thalassemia major (dashed line), as well as the difference spectrum (dotted line) between normal and magnified  $\beta$ -thalassemia major spectra by a factor of 1.5

### 1.4 数据处理

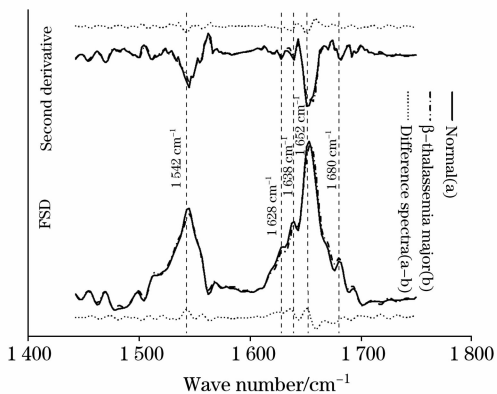
OMNIC 7.0 软件用于光谱的 Savitzky Golay 五点平滑, 二阶导数光谱及傅里叶去卷积(fourier self-deconvolution, FSD)等基本处理。

## 2 结果与讨论

### 2.1 红外光谱分析

样本的红外光谱经 5 点平滑处理后, 分别计算了两组样品的平均光谱(见图 1)。在谱形上两组光谱大体上保持一致, 在 1 652, 1 542 和 3 295  $\text{cm}^{-1}$  处有 3 个强吸收峰, 分别归属为血红蛋白的 C=O (amide I), N—H (amide II) 和 amide A, 为蛋白结构研究的重要区域。但在强度上, 在主要的吸收峰上两组光谱存在明显差异。在样品溶液中, 所释放的 Hb 量( $Q$ ,  $\text{g} \cdot \text{L}^{-1}$ )主要由平均细胞 Hb 浓度(MCHC)、平均

细胞体积(MCV)及红细胞数( $N$ , 个  $\cdot \text{L}^{-1}$ )决定。在正常组中, 由于红细胞数及平均细胞 Hb(MCH), 即 MCHC  $\times$  MCV 大于贫血患者, 在 Hb 总量上明显高于  $\beta$ -重型地贫组。因此, 地贫组的光谱强度显著低于正常组( $p < 0.001$ ), 可做为红外对地贫诊断的量化指标之一。



**Fig. 2** Second derivative spectra, FSD and their respective difference spectra in amide I regions. The solid line, short dash dot line and dotted line represent normal group,  $\beta$ -thalassemia major group and their difference spectra respectively

由于正常组与  $\beta$ -重型地贫样品蛋白浓度的差异, 在比较各生化组分及蛋白结构之前, 先对其蛋白浓度进行了校正。图 1 中显示了以 1 652  $\text{cm}^{-1}$  作为参比峰, 正常组与校正后  $\beta$ -重型地贫的差谱。两者差异主要存在于 1 750~1 500  $\text{cm}^{-1}$ , 1 350~1 500  $\text{cm}^{-1}$ , 800~1 200  $\text{cm}^{-1}$  光谱区间, 这与 Liu 等<sup>[20]</sup>结果一致, 也是本文中重点讨论的对象。

### 2.2 蛋白结构变化

在 1 652 与 1 542  $\text{cm}^{-1}$  附近(见图 2), 其谱带主要来源于蛋白的特征吸收, 为傅里叶红外研究蛋白质二级结构特征最多的一个谱带。但由于众多子带重叠, 对其结构的研究需要二阶导数、FSD、曲线拟合等分峰技术。因此, 在该区域用二阶导数确定其峰数及位置, 再以去卷积半高宽(bandwidth at half height, FWHH)20  $\text{cm}^{-1}$ , 分辨率提高因子 2.0 对其进行去卷积处理以提高光谱分辨率。在表征  $\alpha$ -螺旋结构的 1 652  $\text{cm}^{-1}$  处, 其光谱的强度略低于正常组。在正常血红蛋白中其二级结构以  $\alpha$ -螺旋为主, 但两种肽链在数目上有所不同,  $\beta$ -珠蛋白为 8 个, 而  $\alpha$ -珠蛋白仅为 7 个。在  $\beta$ -重型地贫中, 由于  $\beta$ -珠蛋白的相对缺失, 蛋白中所含  $\alpha$ -螺旋结构会相应减少。此外, 由于分辨率的提高, 二阶导数谱和 FSD 谱显示了原始光谱中 1 680, 1 638, 1 628  $\text{cm}^{-1}$  处隐含的子峰, 在  $\beta$ -重型地贫中前者呈强吸收, 而后两者与之相反呈弱的吸收强度。由于血红蛋白不含有  $\beta$ -折叠结构, 附近的谱带应来源于两段螺旋间的短肽<sup>[21, 22]</sup>, 推测应与  $\beta$ -珠蛋白缺失相关。

### 2.3 脂类变化

图 3(a)显示了 1 350~1 500  $\text{cm}^{-1}$  区间正常组和  $\beta$ -重型地贫的原始光谱及二阶导数谱。在 1 440, 1 453, 1 479  $\text{cm}^{-1}$  处, 重叠的吸收峰在导数谱中被明显的区分, 谱带归属为脂

类的  $\text{CH}_3/\text{CH}_2$  的弯曲振动，主要来源于红细胞膜所释放的磷脂或胆固醇类成分<sup>[23]</sup>。在  $\beta$ -重型地贫中，由于  $\beta$ -珠蛋白的缺失，易使过剩的  $\alpha$ -珠蛋白及降解物沉积于膜上，导致膜的释放能力下降，从而溶液中脂类含量降低。为定量描述这种变化，我们以 Amide III 区域的  $1303 \text{ cm}^{-1}$  作为参比峰，计算了表征脂类/蛋白比的  $1453 / 1303 \text{ cm}^{-1}$  的相对强度。*t* 检验显示两组数据差异显著（见表 1），表明  $\beta$ -地贫组中脂类物质相对于蛋白的减少趋势更为强烈。

**Table 1** Intensity ratios of controls to patients with  $\beta$  thalassae-mia major, shown as mean and standard deviation

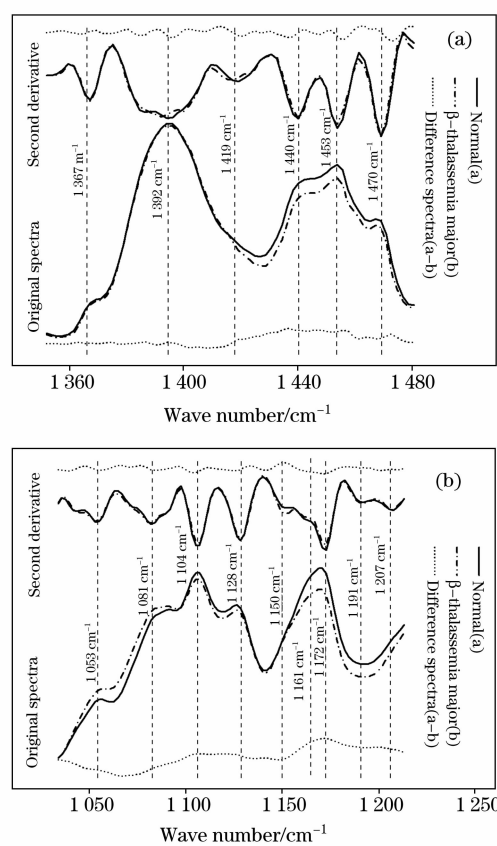
强度比	正常对照( $n=37$ )	$\beta$ -重型地贫( $n=68$ )
$I_{1\ 453}/I_{1\ 303}$	1.101 6±0.012 1	1.085 7±0.015 6 <sup>a</sup>
$I_{1\ 440}/I_{1\ 303}$	1.057 4±0.006 9	1.038 0±0.011 7 <sup>a</sup>
$I_{1\ 052}/I_{1\ 172}$	0.435 8±0.012 9	0.532 3±0.026 7 <sup>a</sup>
$I_{1\ 081}/I_{1\ 172}$	0.778 8±0.019 8	0.898 1±0.037 6 <sup>a</sup>

<sup>a</sup>: statistical significant ( $p=0$ ,  $t$  test)

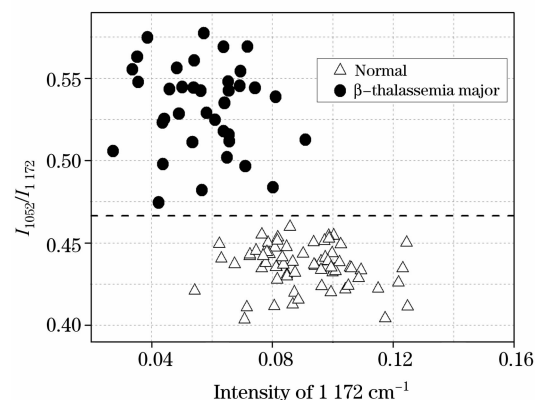
## 2.4 碳水化合物及磷酸化合物变化

在  $1\ 172\text{ cm}^{-1}$  附近，谱带为  $1\ 172$ ,  $1\ 161$  和  $1\ 150\text{ cm}^{-1}$  吸收峰重叠所致<sup>[24, 25]</sup> [见图 3(b)]。前两者主要归属为脂类  $\text{CO}-\text{O}-\text{C}$  对称伸缩振动<sup>[26]</sup>，与  $1\ 453\text{ cm}^{-1}$  处一致，其光谱强度在  $\beta$ -重型地贫组呈现明显降低，为  $\beta$ -重型地贫脂质释放减少所致。而  $1\ 150\text{ cm}^{-1}$  谱带则与  $1\ 080$  和  $1\ 053\text{ cm}^{-1}$  的变化趋势一致，在  $\beta$ -重型地贫组中表现较强的吸收强度。在峰的指认上， $1\ 150\text{ cm}^{-1}$  主要归属为碳水化合物的  $\text{C}-\text{O}$  的伸缩振动，如葡萄糖及其中间产物<sup>[27]</sup>；而  $1\ 080$  和  $1\ 053\text{ cm}^{-1}$  主要归属为  $\text{O}-\text{P}=\text{O}$  对称伸缩振动，来自于血红蛋白中游离的 DPG 或 ATP，三者在代谢上存在一定的相关性。在成熟红细胞中，由于线粒体和微粒体的缺失，以葡萄糖为底物的糖酵解过程是红细胞供能的主要途径，其最终产物为 ATP, NADPH 与 DPG。除前两者用于供能、离子平衡等功能外，细胞内还维持高水平的 DPG，其浓度与 Hb 相当，其功能主要是作为血红蛋白氧亲合力的调节因子，通过浓度方式调制血红蛋白对氧的结合与释放能力<sup>[28]</sup>。在  $\beta$ -地贫中，由于有效血红蛋白量减少，红细胞内葡萄糖代谢活跃<sup>[29]</sup>，使得 DPG 在胞内呈代偿性升高，促使氧离曲线发生右移，增强组织对氧的摄取，以缓解机体的缺氧状态。这与 Labotka 等<sup>[30]</sup>用核磁共振对  $\beta$ -重型地贫的 DPG 检测结论一致。

结合以上分析，分别计算了 1 081 和 1 053  $\text{cm}^{-1}$  与 1 172  $\text{cm}^{-1}$  的相对强度来表征 DGP/磷脂的变化关系，统计显示在  $\beta$ -重型地贫中 DPG/磷脂比显著高于正常组(见表 1)，并且能将两组数据完全区分。图 4 其横坐标为 1 172  $\text{cm}^{-1}$  处原始光谱强度，可作为血红蛋白浓度的指示，显示大部分  $\beta$ -地贫患者的血红蛋白浓度减少；而在表示 1 053 与 1 172  $\text{cm}^{-1}$  相对强度的纵坐标上，所有的样本可被正确的区分。以上结果大大简化了数据处理过程，可为红外光谱诊断  $\beta$ -地贫提供更为直观的量化指标。



**Fig. 3** Original spectra, second derivative spectra and their respective differencespectra in  $1\ 350\sim1\ 500\text{ cm}^{-1}$  (a) and  $1\ 000\sim1\ 200\text{ cm}^{-1}$  (b)regions



**Fig. 4** Two-dimensional plot of the intensities at band 1 172 cm<sup>-1</sup> and the intensity ratio of  $I_{1054}/I_{1172}$ . The triangles represent control group and dots represent patients with  $\beta$ - thalassemia major. Plots illustrate substantial distinguishing in cluster diversity

3 结 论

应用 FTIR-HATR 技术检测了  $\beta$ -地贫与正常组的红外光谱，在群体水平上寻找出两组光谱差异的变化规律，并探

讨了其变异的分子机制。表明光谱中正常组与 $\beta$ -重型地贫患者主要存在3方面差异,一是 $\beta$ -重型地贫在血红蛋白表达量上显著低于正常组;二是表现为两者在血红蛋白结构差异,即1 750~1 500 cm<sup>-1</sup>(Amide I)区内, $\beta$ -重型地贫在1 682, 1 638, 1 628 cm<sup>-1</sup>处吸收强度变化;最后是1 453及1 170 cm<sup>-1</sup>附近表征磷脂成分的特征峰在 $\beta$ -重型地贫中显著降低,

而在表征DPG的1 107 cm<sup>-1</sup>附近的吸收峰却显著增加,其DPG/磷脂比表现为显著的组间特异性,可将两组样本完成分开,为红外光谱诊断地贫提供了可靠的理论依据。

致谢:感谢广西医科大学陈萍、贾文广提供实验样本,广西工业生物技术研究中心杨登峰、孙靓、孙菲菲和肖代俊对本文的支持。

## 参 考 文 献

- [1] ZHANG Jun-wu, LONG Gui-fang(张俊武, 龙桂芳). The Hemoglobin & Hemoglobinopathies(血红蛋白与血红蛋白病). Nanning: Guangxi Science & Technology Press(南宁: 广西科技出版社), 2003.
- [2] Yong K N, Wadsworth D, Langlois S, et al. Clin. Genet., 1999, 55(1): 20.
- [3] Xu X M, Zhou Y Q, Luo G X, et al. J. Clin. Pathol., 2004, 57(5): 517.
- [4] Li D, Liao C, Li J, et al. Eur. J. Obstetrics Gynecology and Reproductive Biology, 2006, 128(1-2): 81.
- [5] Lau Y L, Chan L C, Chan Y Y, et al. New England and Journal of Medicine, 1997, 336(18): 1298.
- [6] Fucharoen S, Winichagoon P, Wisedpanichkij R, et al. Clin. Chem., 1998, 44(4): 740.
- [7] Arrondo J L, Goni F M. Prog. Biophys. Mol. Biol., 1999, 72(4): 367.
- [8] Barth A, Zscherp C. Q. Rev. Biophys., 2002, 35(4): 369.
- [9] Gilmanshin R, Williams S, Callender R H, et al. Biochemistry, 1997, 36(48): 15006.
- [10] Iwaki M, Osyczka A, Moser C C, et al. Biochemistry, 2004, 43(29): 9477.
- [11] WU Jin-guang(吴瑾光). Techniques and Application of FTIR Spectra in Recent Time(近代傅里叶变换红外光谱技术及应用). Beijing: Scientific and Technical Documents Press(北京: 科学技术文献出版社), 1994.
- [12] Li Q B, Sun X J, Xu Y Z, et al. Clin. Chem., 2005, 51(2): 346.
- [13] Argov S, Ramesh J, Salman A, et al. J. Biomed. Opt., 2002, 7(2): 248.
- [14] LING Xiao-feng, XU Yi-zhuang, WANG Li-xin, et al(凌晓锋, 徐怡庄, 王立新, 等). Chem. J. Chinese Universities(高等学校化学学报), 2007, 28(3): 445.
- [15] PAN Qing-hua, WANG Bing-bing, LAI Guo-qiao, et al(潘庆华, 王冰冰, 来国桥, 等). Chem. J. Chinese Universities(高等学校化学学报), 2007, 28(5): 843.
- [16] Benedetti E, Palatresi M P, Vergamini P, et al. Leukemia Research, 1985, 9(8): 1001.
- [17] Schultz C P, Liu K Z, Johnston J B, et al. Leukemia Research, 1996, 20(8): 649.
- [18] Petibois C, Rigalleau V, Melin A M, et al. Clin. Chem., 1999, 45(9): 1530.
- [19] Petrich W, Dolenko B, Fruh J, et al. Applied Optics, 2000, 39(19): 3372.
- [20] Liu K Z, Tsang K S, Li C K, et al. Clin. Chem., 2003, 49(7): 1125.
- [21] Byler D M, Susi H. Biopolymers, 1986, 25(3): 469.
- [22] Byler D M, Brouillette J N, Susi H. Spectroscopy, 1986, 1(3): 29.
- [23] Cheung L C, Storm C B, Gabriel B W, et al. Analytical Biochemistry, 1984, 137(2): 481.
- [24] Wong P T, Wong R K, Caputo T A, et al. Proc. Natl. Acad. Sci. USA, 1991, 88(24): 10988.
- [25] Cohenford M A, Rigas B. Proc. Natl. Acad. Sci. USA, 1998, 95(26): 15327.
- [26] Melin A M, Perromat A, Deleris G. Archives of Biochemistry and Biophysics, 2001, 394(2): 265.
- [27] Lasch P, Pacifico A, Diem M. Biopolymers, 2002, 67(4-5): 335.
- [28] WANG Jing-yan, ZHU Sheng-geng, XU Chang-fa(王镜岩, 朱圣庚, 徐长法). Biochemistry(生物化学). Beijing: Higher Education Press(北京: 高等教育出版社), 2002.
- [29] Ting Y L, Naccarato S, Qualtieri A, et al. British Journal of Haematology, 1994, 88(3): 547.
- [30] Labotka R J, Honig G R. American Journal of Hematology, 1980, 9(1): 55.

# FTIR-HATR to Identify $\beta$ -Thalassemia and Its Mechanism Study

PENG Li-xin<sup>1</sup>, WANG Gui-wen<sup>1\*</sup>, YAO Hui-lu<sup>1</sup>, HUANG Shu-shi<sup>1</sup>, WANG Yi-bing<sup>1</sup>, TAO Zhan-hua<sup>1</sup>, LI Yong-qing<sup>2</sup>

1. Biophysics Laboratory, Guangxi Academy of Sciences, Nanning, Guangxi 530003, China

2. Department of Physics, East Carolina University, Greenville, NC 27858-4353, USA

**Abstract** Fourier transform infrared spectroscopy (FTIR) associated with horizontal attenuated total reflectance (HATR) was firstly used to diagnose  $\beta$ -thalassemia patients. With excellent linearity ( $r=0.997$ ) and reproducibility (RSD<4%), FTIR-HATR shows an order-of-magnitude increase in IR absorption bands over the single-path transmission FTIR. Based on above, spectra from 37 patients' and 68 health samples indicated several observable differences in IR vibrational spectra of the Hb lysates between the  $\beta$ -thalassemia major patients and control: (1) Because of decreasing hemoglobin, the peak intensities are obviously lower in  $\beta$ -thalassemia group that is consistent with index from routine hemoglobin diagnosis. (2) In 1 750-1 500 cm<sup>-1</sup> region, slight decrease at 1 652 cm<sup>-1</sup> ( $\alpha$ -helix), 1 638 and 1 628 cm<sup>-1</sup> bands but mild increase at 1 682 cm<sup>-1</sup> all demonstrate structure changes by both Fourier self-deconvolution and second derivative spectra. (3) More importantly, difference spectra substantially demonstrate decreased intensities at 1 440, 1 453, 1 479 cm<sup>-1</sup> bands arising from CH<sub>2</sub>/CH<sub>3</sub> deformation vibration of phospholipids but increased intensities at 1 150 cm<sup>-1</sup> band originating from C—O stretching vibration of carbohydrate and at 1 081 and 1 053 cm<sup>-1</sup> bands that are attributed to 2,3-diphosphoglycerate (DPG) in  $\beta$ -thalassemia major group. Statistical analysis demonstrates significant difference of DPG/phospholipids ratio between two groups. All the samples can be 100% correctly classified into groups on the basis of this ratio. These finding could help understand possible mechanism for diagnosing thalassemia. It makes large-scale screening of thalassemia by FTIR a possibility.

**Keywords** FTIR; HATR; Thalassemia; Phospholipids; 2, 3-Diphosphoglycerate

(Received Feb. 8, 2008; accepted May 12, 2008)

\* Corresponding author